

(株)熊谷組技術研究所 正員 大塚本夫
 同 同 上野正高
 同 同 ○群高伸一

1.はじめに

最近、特に膨張性地山や軟弱地山におけるトンネルの一支撑手段として、全面接着型のロックボルトが用いられ、その効果が注目されている。ロックボルトは、吹きコンクリートとともに、NATM(新大ーストリアットネル工法)の主要支保メンバーであり、上越新幹線中山トンネル等では、膨張性地山の克服に成功を収めている。本報文では、ロックボルトの地山への適用性及び品質管理の観点に行なわれている、最も基本的な試験方法である引抜試験に対して考察し、さらに実際の地山に埋め込まれたロックボルトの挙動と比較し、検討を加えたものである。

2.引抜試験

ロックボルトの引抜試験は、ロックボルトの適用性を知るために最も基本かつ簡便な方法である。ロックボルトの頭部にセンターホール型ミヤッキヒゲゲージを取り付け、荷重-変位曲線を描くことにより、ロックボルトの引抜抵抗の特性を知ることができます。Fig-1は、実際に実施された荷重-変位曲線の一例を示す。

ここでは、一つの試験として、ロックボルトに溝を切り、Fig-2に示すように、ひずみゲージを貼付し、引抜試験時のロックボルトのひずみ(軸力)の分布状況を測定して、Fig-3(a)に示すものか、引抜試験時の各載荷荷重に対するロックボルトのひずみの分布が図である。引抜強度を増加させるためにしてかって、荷重-変位曲線が変化することをめぐる。この試験結果の場合、ボルト頭部附近は、ひずみの分布が一定となり、変化していない。この直線反復は、地山が完全にゆるむが、接着が完全でないため地山との抵抗が減られて、部分であると考えられる。

Fig-4のように、ロックボルトの微小圧縮をとり出し、力のつもり合いを考えると、(1)式がえられる。

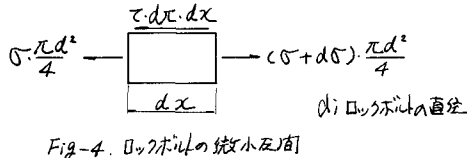


Fig-4. ロックボルトの微小圧縮

$$\sigma \cdot \frac{\pi d^2}{4} + 2\pi d \sigma dx - (r + dr) \frac{\pi d^2}{4} = 0 \quad \text{---(1)}$$

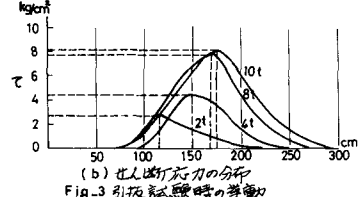
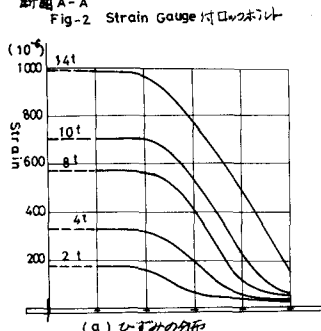
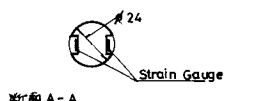
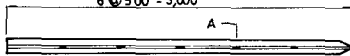
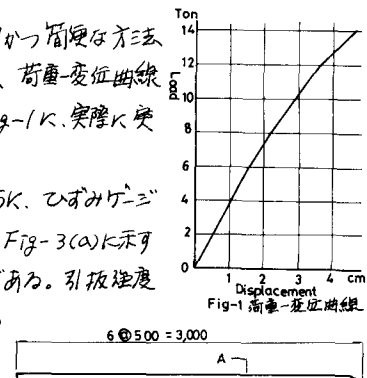
(1)式より、せん断応力を求めると、(2)式がえられる。

$$\tau = \frac{dr}{dx} \cdot \frac{d}{4} \quad \text{---(2)}$$

(2)式において、フックの法則 $d\sigma/dx = E \cdot d\epsilon/dx$ なる関係を代入すると、

$$\tau = \frac{d\sigma}{dx} \cdot \frac{d}{4} \cdot E \quad \text{---(3)}$$

がえられる。(3)式によれば、せん断応力とは、ひずみの勾配と比例関係に



あることがわかる。Fig.3(b)は、(3)式の関係より、Fig.3(a)のひずみ分布図から、ボルトのせん断応力分布を求めてものである。この図から、最大せん断応力の発生する位置が、各引抜荷重別に求めまる。トンネル壁面をA、最大せん断応力の発生する点をB、ロックボルトの先端をCとするとき、A-B間に非抵抗領域、B-C間に抵抗領域と呼ぶことができる。ロックボルトの全長Lに対して、B-C間の抵抗領域が長いほど、ロックボルトの容量が大きいといえる。

3. 実際の地山に埋め込まれたロックボルトの挙動

実際の地山に打ち込まれたロックボルトの作用効果を調べるために、2.と同様に、Fig.2で示したひずみゲージでロックボルトをトンネル上半部PK5体設置した。Fig.5は、打ち込み位置と、ロックボルト打ち込み後、3日、7日経過した時の、各ロックボルトの軸力分布を次を示したものである。Fig.5(a)は、No.1のロックボルトの7日後のひずみの分布を示したものである。ひずみをロックボルトの先端から逐次積分することにより、ロックボルトの変形を求めることができる。Fig.5(b)は、Fig.5(a)より、ロックボルトの変形を求めたものである。もし、地山とロックボルトが完全に密着しているものとすれば、地山の変形は、ロックボルトの変形曲線と相似形になつて、いふと考えられる。すなわち、ロックボルトのひずみ分布を知ることにより、地山の変形が最も推定可能と思われる。

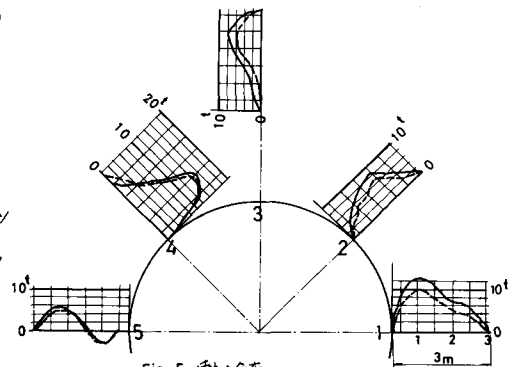


Fig.5 軸力分布

Fig.6(a)は、Fig.5(a)と同様に、No.1のロックボルトの7日後のひずみの分布を示したものである。ひずみをロックボルトの先端から逐次積分することにより、ロックボルトの変形を求めることができる。Fig.6(b)は、Fig.6(a)より、ロックボルトの変形を求めたものである。もし、地山とロックボルトが完全に密着しているものとすれば、地山の変形は、ロックボルトの変形曲線と相似形になつて、いふと考えられる。すなわち、ロックボルトのひずみ分布を知ることにより、地山の変形が最も推定可能と思われる。

4. 引抜試験時の挙動と実際の地山での挙動の比較

ロックボルトの引抜試験結果と実際の地山に埋め込まれたロックボルトの測定結果を比較してみる。2.および3.で試験してロックボルトは同一のものではなく、同一地山に施工されたものでもない。すなわち、引抜試験時の挙動と実際の地山での挙動が、どのような関係にあるかは、明確ではないが、引抜試験時のひずみの分布(Fig.3(a))と実際の地山での変形状態は、比較的高く似ている。また、引抜試験時のせん断応力分布(Fig.3(b))と実際の地山でのひずみ分布(Fig.6(a))も似て、いふといえる。さらに、引抜試験時のせん断応力は、その時のひずみ分布を微分することによって求められたものであり、かつまた、実際には埋め込まれたロックボルトの変位曲線は、その時のひずみを積分することによって求められたものである。以上のことを考慮あわせると、ロックボルトの引抜時の挙動が実際には埋め込まれた場合との関係が明らかになり、引抜試験時のひずみ分布と実際の地山でのロックボルトの変形曲線が相似関係にあつたとすれば、ロックボルトの引抜試験と実験することにより、早期にロックボルトの軸力分布を推定することができる、ロックボルトの適用性の判定が容易に可能となると思われる。

5.まとめ

- 1) 全面密着型のロックボルトにひずみゲージを貼付し、引抜試験を行い、ひずみ分布、せん断応力分布を求める。せん断応力のピーク位置から、ロックボルト先端の伸び、ボルトの実際の抵抗している領域と見られ、この長さが長いほど、ロックボルトの容量が大きいといえる。
- 2) 実際の地山に埋め込まれたロックボルトのひずみの分布を測定した。ひずみの分布よりロックボルトの変形を求ることにより、実際の地山の変形状況も推定可能であら。
- 3) 引抜試験時のロックボルトおよび地山の挙動と、実際の地山でのロックボルトの挙動との関係が明確に認められ、引抜試験を行うことにより、容易に、ロックボルトの適用性を判定することが可能である。
- 4) ロックボルトの試験方法およびその解釈方法について、いまだ確立されていないのが現状である。今後、明確な方法を確立し、標準化していく必要があると思われる。

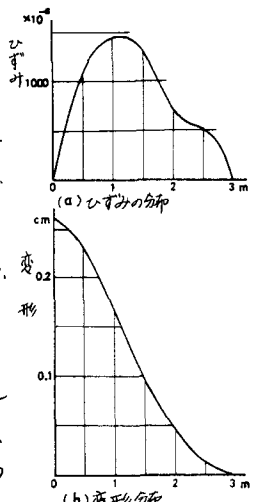


Fig.6 実際の地山に埋め込まれたロックボルトの挙動